

Alumno:

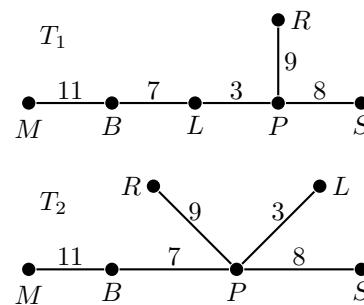
L:

Se presenta un esqueleto, prácticamente sin detalles, con justificaciones mínimas o inexistentes, de las líneas maestras de la resolución; se recomienda al alumno completarlas con los comentarios y definiciones que transformen el esqueleto en una resolución aceptable.

1. La tabla muestra las distancias (km) de las rutas de tierra que conectan seis ciudades ( $B, L, M, P, R, S$ ). Determinar, mediante el algoritmo de Prim iniciado en  $R$ , todas las posibles formas de conectar las ciudades minimizando la cantidad de kilómetros a asfaltar, y para cada una de esas formas obtenidas, determinar las ciudades que quedan en el centro y las que quedan en la periferia del sistema asfaltado.

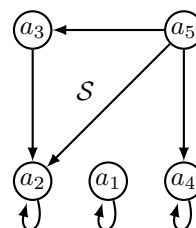
	$B$	$L$	$M$	$P$	$R$	$S$
$B$	-	7	11	7	10	15
$L$	7	-	18	3	12	11
$M$	11	18	-	18	20	27
$P$	7	3	18	-	9	8
$R$	10	12	20	9	-	13
$S$	15	11	27	8	13	-

♣ (Resp. Parcial). Son dos los árboles posibles, indicados con  $T_1$  y  $T_2$  en la figura, de peso  $11 + 7 + 7 + 9 + 8 = 38$ ; iniciando el algoritmo de Prim en  $R$ , debe conectarse necesariamente con  $P$  (pues la arista  $RP$  tiene el peso mínimo entre todas las que inciden en  $R$ ), ahora debe añadirse necesariamente  $PL$  y a continuación puede elegirse añadir la arista  $LB$  o la arista  $PB$ , ambas de peso 7, el menor peso de entre las aristas todavía disponibles que agrandan el árbol hasta allí presente; si se elige la arista  $LB$  el resto de la construcción es única y resulta en  $T_1$ ; en otro caso, eligiendo  $PB$ , las restantes elecciones son también únicas y arrojan el árbol  $T_2$ . Para el primer árbol,  $L$  es central (con excentricidad 18),  $M$  y  $R$  periféricos (ambos con excentricidad 30); en cambio, para el segundo árbol,  $B$  es central (excentricidad 16). ¿Periféricos?



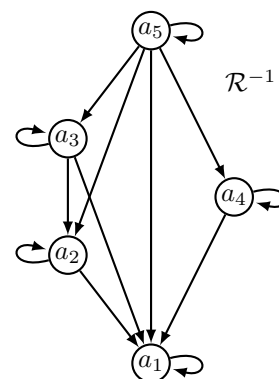
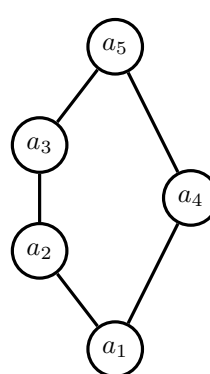
2. En el conjunto  $A = \{a_1, a_2, a_3, a_4, a_5\}$  sea  $\mathcal{S}$  la relación determinada por el *digraph* de la figura, y  $\mathcal{T}$  la relación definida por la matriz  $M_{\mathcal{T}}$ , y sea  $\mathcal{R}$  la relación  $\mathcal{R} = (\mathcal{S} + \mathcal{T})^{-1}$ .

- (a) Probar que  $\mathcal{R}$  es una relación de orden en  $A$  y determinar, con las operaciones  $x + y \stackrel{\text{def}}{=} \sup\{x, y\}$ ,  $xy \stackrel{\text{def}}{=} \inf\{x, y\}$ , todos los pares  $(x, y) \in A^2$  tales que  $xy + x = a_3$ ,  $(x + y)\mathcal{R}(a_3a_5)$ .
- (b) Si  $G = (V(G), E(G))$  es el *digraph* dado por la relación  $\mathcal{R}^{-1}$  (inversa de  $\mathcal{R}$ ), determinar la circunferencia de radio 1 centrada en  $a_1 \in V(G) = A$  (esto es todos los  $x \in A$  tales que  $d(x, a_1) = 1$ ).

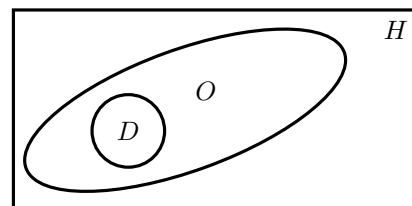


$$M_{\mathcal{T}} = \begin{pmatrix} 0 & 0 & 0 & 0 & 0 \\ 1 & 0 & 0 & 0 & 0 \\ 1 & 0 & 1 & 0 & 0 \\ 1 & 0 & 0 & 0 & 0 \\ 1 & 0 & 0 & 0 & 1 \end{pmatrix}$$

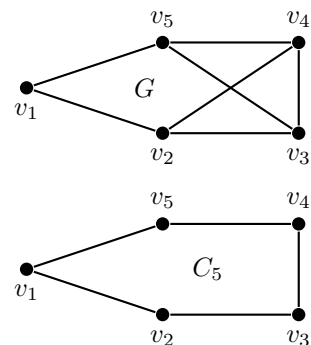
♣ (Resp. Parcial). (a) La relación  $\mathcal{R} = \mathcal{S}^{-1} + \mathcal{T}^{-1}$  es reflexiva pues  $a_1\mathcal{S}^{-1}a_1, a_2\mathcal{S}^{-1}a_2, a_3\mathcal{T}^{-1}a_3, a_4\mathcal{S}^{-1}a_4, a_5\mathcal{T}^{-1}a_5$ , luego  $a_k\mathcal{R}a_k, k = 1, 2, 3, 4, 5$ ; del mismo modo se prueba que es antisimétrica y transitiva, y entonces es de orden, por definición de orden, con el diagrama de Hasse que se indica en la figura. Ahora  $xy + x = \sup\{xy, x\} = \sup\{\inf\{x, y\}, x\} = x$  (¡detallar los motivos de la última igualdad! y no hablar de ‘absorción’), de modo que debe ser  $x = a_3$ , y como  $a_3a_5 = a_3$  la segunda condición es  $a_3 + y = \sup\{a_3, y\} = a_3$ , de donde  $y$  puede ser  $a_1, a_2, a_3$  (y ningún otro), de modo que los pares pedidos son  $(a_3, a_1), (a_3, a_2), (a_3, a_3)$ . Para (b), obtenida la representación del *digraph* de la figura, la circunferencia pedida es el conjunto  $\{a_2, a_3, a_4, a_5\}$ .



3. Sea  $D$  el conjunto de los grafos que satisfacen las hipótesis del teorema de Dirac,  $O$  el conjunto de los grafos que satisfacen las hipótesis del teorema de Ore, y  $H$  el conjunto de los grafos hamiltonianos. Demostrar que se dan las inclusiones estrictas de la figura, esto es que  $D \subset O \subset H$  con  $D \neq O, O \neq H$ .



♣ (Resp. Parcial). Sea  $G = ((G), E(G))$  un grafo simple de orden  $n = |V(G)| \geq 3$ . El teorema de Dirac afirma si  $\forall v \in V(G) : d(v) \geq n/2$  entonces  $G$  es hamiltoniano; el teorema de Ore afirma que si para todo par de vértices no adyacentes  $u, v$  es  $d(u) + d(v) \geq n$  entonces  $G$  es hamiltoniano. Ahora,  $D \subset O$ , pues si  $\forall v \in V(G) : d(v) \geq n/2$ , entonces  $d(u) + d(v) \geq n/2 + n/2 = n$  (cualesquiera sean  $u, v$ , en particular, no adyacentes). El teorema de Dirac, por lo tanto se deduce del teorema de Ore, y basta probar éste (¡hacerlo!) para ver que  $O \subset H$ . El grafo  $G$  de la figura, con  $n = 5$  está en  $O$  (verificar que los grados de cualquier par de vértices no adyacentes suman al menos  $n$  pero no en  $D$  (pues  $d(v_1) = 2 < n/2$ ), de modo que  $O \neq D$ . Finalmente,  $C_5$  está en  $H$  (es hamiltoniano) pero no en  $O$ , pues para cualquier par de vértices no adyacentes  $d(u) + d(v) = 4 < 5 = n$ , de modo que  $O \neq H$ .

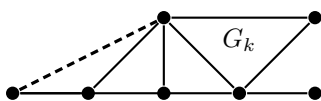
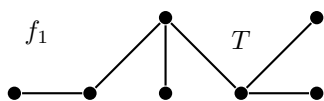


4. Sea el grafo *planar*  $G = (V(G), E(G))$  de orden  $n = |V(G)|$  y tamaño  $m = |E(G)|$  y de  $f$  caras en una representación plana.

- Probar la fórmula de Euler:  $n - m + f = 2$  y deducir que si  $G$  es simple, conexo y planar de orden al menos tres, debe cumplirse que  $m \leq 3n - 6$ . ¿Cuál es el menor valor de  $n$  para el que el grafo completo  $K_n$  no es planar?
- Probar que si  $G$  es simple, conexo y planar sin triángulos de orden al menos tres, entonces se cumple  $m \leq 2n - 4$ . ¿Cuál es el menor valor de  $n$  tal que  $K_{n,n}$  no es planar?

♣ (Resp. Parcial). (a) Una prueba de la fórmula de Euler supone sabido que cualquier grafo conexo se construye partiendo de un árbol generador  $T$  añadiendo una arista por vez. En  $T$  se sabe que  $f = 1$  (cualquier inmersión del árbol tiene solo una cara), y además el número de aristas es  $m = n - 1$ , de modo que  $n - m + f = n - (n - 1) + 1 = 2$ . Ahora, en cada estado, la adición de una arista no cambia el valor de  $n$  es incrementa en 1 el número de aristas ( $m$  pasa a  $m + 1$ ) y el número de caras se incrementa en 1 ( $f$  pasa a  $f + 1$ ) pues la arista añadida o bien conecta dos vértices o bien es un lazo, y en cualquier caso divide una cara existente en dos (la figura muestra el  $k$ -ésimo estado  $G_k$  en que se añade la arista punteada, que divide en dos la cara no acotada): luego el valor  $n - m + f$  no se altera en cada paso, y al finalizar la construcción del grafo  $G$ , permanece en el valor del árbol generador  $T$ , esto es, 2.

(b) En general para un grafo simple planar ( $n \geq 3$ ) el grado de cada cara es al menos 3 (¿por qué?) y entonces (*faceshaking lemma*)  $2m \geq 3f$  y como (fórmula de Euler) es  $f = m - n + 2$  resulta que  $3(m - n + 2) \leq 2m$  de donde  $m \leq 3(n - 2)$ . Si en particular  $K_5$  fuera planar ( $n = 5, m = 10$ ) debería ser  $10 \leq 3(5 - 2) = 9$ , lo que es imposible, de modo que  $K_5$  no es planar. Otra vez, en general, si el grafo carece de triángulos, el grado de cada cara es al menos 4, y (*faceshaking lemma*)  $2m \geq 4f$  y como es  $f = m - n + 2$  resulta que  $4(m - n + 2) \leq 2m$  de donde  $m \leq 2(n - 2)$ . Si en particular  $K_{3,3}$  (que está libre de triángulos, ver figura) fuera planar ( $n = 6, m = 9$ ) debería ser  $9 \leq 2(6 - 2) = 8$ , lo que es imposible, de modo que  $K_{3,3}$  no es planar. Finalmente, las figuras prueban que  $K_1, K_2, K_3, K_4$  son planares, de modo que el menor valor de  $n$  para el que  $K_n$  no es planar es 5; del mismo modo (ver figuras), siendo planares  $K_{1,1}, K_{2,2}$ , el menor valor de  $n$  para el que  $K_{n,n}$  no es planar es 3.



$K_1$

$K_2 = K_{1,1}$

$v_1$

$v_1 \text{ --- } v_2$

